

W 1891.



دانشگاه شهید بهشتی

دانشکده علوم- گروه شیمی

پایان نامه جهت اخذ درجه کارشناسی ارشد رشته شیمی (گرایش معدنی)

اثر گروه های استخلافی متوكسی در متالوپورفیرین ها بر
اپوکسایش کاتالیزوری آلکن ها توسط اکسنده $n\text{-Bu}_4\text{NHSO}_5$

نگارش

امینه آقابالی

استاد راهنما

دکتر ناصر صفری

جواهرات مدد حسنی

۱۳۸۸/۱۲/۲

استاد مشاور

دکتر حمیدرضا خواصی

شهریور ۱۳۸۸

۱۳۱۵۹۲



تاریخ
شماره
پیوست

دانشگاه شهید بهشتی

بسمه تعالیٰ

«صور تجلیسه دفاع پایان نامه دانشجویان دوره کارشناسی ارشد»

تهران ۱۹۸۳۹۶۳۱۱۳ اوین

تلفن: ۲۹۹۰۱

بازگشت به مجوز دفاع شماره ۹۵۲۷ / ۲۰۰ / ۱۸ / ۱۶ / ۸۸ جلسه هیأت
داوران ارزیابی پایان نامه خانم امینه آقابالی به شماره شناسنامه ۱۸۱۹ صادره از تهران
متولد ۱۳۶۱ دانشجوی دوره کارشناسی ارشد ناپیوسته رشته شیمی - شیمی معدنی
با عنوان :

اثر گروه های استخلافی متوكسی در متالوپورفیرین ها در اپوکسایش
 $n\text{-Bu}_4\text{NHSO}_5$

به راهنمائی:

آقای دکتر ناصر صفری

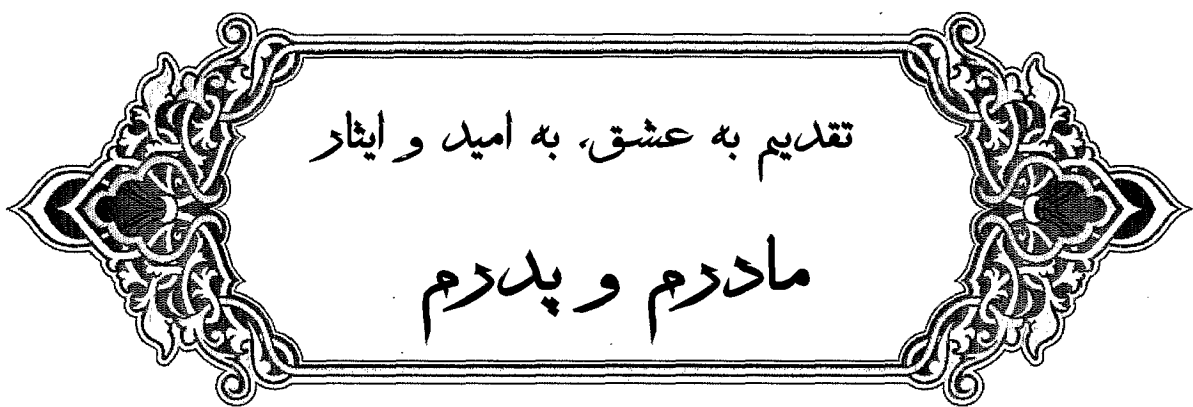
طبق دعوت قبلی در تاریخ ۸۸ / ۶ / ۲۱ تشکیل گردید و براساس رأی
هیأت داوری و با عنایت به ماده ۲۰ آئین نامه کارشناسی ارشد مورخ
۷۵ / ۱۰ / ۲۵ پایان نامه مذبور با نمره ۱۹,۹ درجه Σ مورد تصویب قرار گرفت.

۱- استاد راهنمای: آقای دکتر ناصر صفری

۲- استاد مشاور: آقای دکتر حمیدرضا خواصی

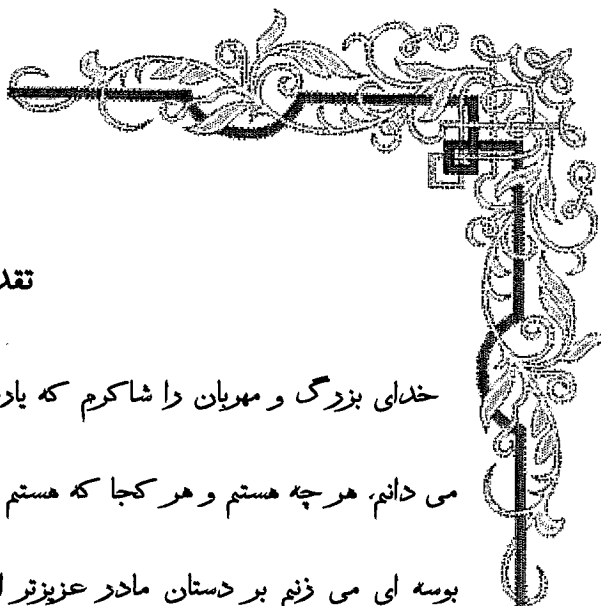
۳- استاد داور: آقای دکتر مجتبی باقرزاده

۴- استاد داور و نماینده تحصیلات تكميلی: آقای دکتر مصطفی محمدپوراميني



تقدیم به عشق، به امید و ایثار

مادرم و پدرم



تقدیر و تشکر

خدای بزرگ و مهربان را شاکرم که پادی دهد، ام بود در مرحله مسیر ذندگی ام و

می دام، هر چه هستم و هر کجا که هستم از سر لطف و عنایت هستی بخشم می باشد.

بوسه ای می فرم بر دستان مادر عزیزتر از جان و پدر مهربانم که پل دنیا من بوده اند به

سرزمین امیدها و آرزوها

از استاد راهنمای عزیزم، جناب آقای دکتر صفری فروتنانه سپاسگزاری می کنم که ایشان، نه تنها

مدرس دنیا علم من بودند که جهان بینی مرا ارتقاء بخشیده و شاگردی ایشان، تا همیشه افتخار

من خواهد بود.

از خدمات همه استادان خود در گروه شیمی داشکده علوم دانشگاه شهید بهشتی تشکر می

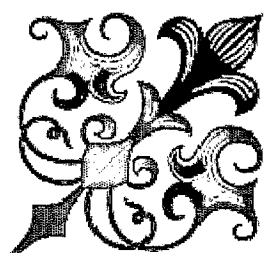
کنم و در نهایت سپاس و بزرگ ای دادم از همکلاسی ها، دوستان و هم آزمایشگاهی های خود، خانم ها

و آقایان: اوسطی، نقاش، حاج محمدی، آدیا مقدم، درجمی، شمسیان پور و سایر دوستانی که در

طول این دوره با من همکاری نمودند.

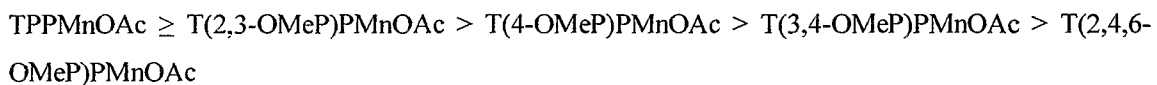
با امید آینده ای درخشنان و سبز برای همه این عزیزان و

ایران یکتابیمان



چکیده:

در این تحقیق، تترافنیل پورفیرین منکنر استات و انواع متوكسی فنیل پورفیرین های منکنر که گروه متوكسی به تعداد و در موقعیت های متنوع روی حلقه های فنیل آن ها حضور دارد، سنتز شدند و در اپوکسایش کاتالیزوری آلکن های مختلف مورد استفاده قرار گرفتند. در این واکنش های اپوکسایش، تترا بوتیل آمونیم مونوپرسولفات ($n\text{-Bu}_4\text{NHSO}_4$) به عنوان اکسید کننده ای ملایم و باز نیتروژنی ایمیدازول، به عنوان لیگاند محوری و کمک کاتالیزور عمل می کردند. ترتیب فعالیت کاتالیزوری برای پورفیرین های استفاده شده به این صورت به دست آمد:



با بررسی های انجام شده نتیجه گرفته شد که فعالیت کاتالیزوری این متوكسی پورفیرین ها علاوه بر خواص الکترونی، به خواص فضایی آن ها نیز وابسته است و برهمکنش بین اجزاء درگیر، مانند پیوند هیدروژنی ممکن بین ایمیدازول و گروه های متوكسی، نقشی تاثیرگذار در روال کاتالیزوری دارد.

از سوی دیگر، با بررسی طیف های الکترونی کاتالیزور ها در مجاورت اجزا درگیر در واکنش، میزان پایداری آن ها در محیط واکنش ارزیابی شد. طبق این بررسی ها، T(2,3-OMeP)PMnOAc علاوه بر داشتن پایداری در خور توجه به دلیل حضور گروه های متوكسی در موقعیت اورتوی حلقه فنیل خود و همچنین داشتن برهمکنش هایی مطلوب، کاتالیستی مطمئن برای واکنش های اکسایشی کاتالیزوری می باشد و به علاوه کاتالیزور T(2,3-OMeP)PMnOAc کارایی ویژه ای در اپوکسایش آلکن های خطی در قیاس با سایر کاتالیزورها از خود بروز می دهد.

در انتهای، برای بررسی اثر حلحل و حد واسطه های درگیر در حضور حلحل های پروتونه، با افزودن مقادیری از الكل ها به محیط واکنش، راندمان های واکنش های اپوکسایش و تغییرات طیف UV-Vis مربوط به کاتالیزور مطالعه و بررسی گردید و با شواهد به دست آمده، گونه اکسو به عنوان حد واسطه فعال در حضور متابول شناسایی شد.

کلمات کلیدی: پورفیرین، متوكسی پورفیرین، اپوکسایش آلکن، اکسون، ایمیدازول

فهرست مطالب

فصل اول: مقدمه‌ای بر پورفیرین‌ها

| | |
|----|---|
| ۱ | ۱. نگاهی به آنژیم‌های سیتوکروم P-450 |
| ۲ | ۲.۱. واکنش‌های اکسیژن دار شدن کاتالیز شده توسط مونواکسیژنه کننده سیتوکروم P-450 |
| ۳ | ۲.۲. پورفیرین‌ها و شبه پورفیرین‌ها |
| ۷ | ۲.۲.۱. سنتز پورفیرین‌ها |
| ۸ | ۲.۲.۱.۱. متالوپورفیرین‌ها |
| ۹ | ۲.۲.۱.۱.۱. سنتز متالوپورفیرین‌ها |
| ۹ | ۲.۱. خصوصیات طیف UV-Vis در پورفیرین‌ها و متالوپورفیرین‌ها |
| ۱۲ | ۲.۲. اپوکسایش |
| ۱۲ | ۲.۲.۱. اپوکسید‌ها و اهمیت آن‌ها |
| ۱۲ | ۲.۲.۲. متالوپورفیرین‌ها: کاتالیزورهایی برای اپوکسایش اولفین‌ها |
| ۱۳ | ۲.۳.۲.۱. اکسنده‌ها در واکنش‌های کاتالیزوری پورفیرین‌های فلزی |
| ۱۴ | ۲.۳.۲.۲. اثر لیگاند محوری بر روی عملکرد کاتالیزوری پورفیرین‌های فلزی |
| ۱۵ | ۲.۳.۲.۳. اثر حلال بر روی عملکرد کاتالیزوری پورفیرین‌های فلزی |

فصل دوم: بخش تجربی

| | |
|----|--|
| ۱۷ | ۱. مواد شیمیایی و دستگاه‌های مورد استفاده |
| ۱۷ | ۱.۱.۲. مواد شیمیایی مورد استفاده در سنتز پورفیرین‌ها |
| ۱۷ | ۱.۲.۱.۲. مواد شیمیایی مورد استفاده در واکنش‌های اپوکسایش |
| ۱۸ | ۱.۲.۱.۲.۱. دستگاه‌های مورد استفاده برای آنالیز |
| ۱۸ | ۲. سنتز پورفیرین‌ها، متالوپورفیرین‌ها و خالص سازی آن‌ها |
| ۱۸ | ۲.۱.۲.۲. سنتز تترافنیل پورفیرین (H_2TPP) |
| ۱۸ | ۲.۲.۲. خالص سازی تترافنیل پورفیرین |
| ۱۸ | ۲.۲.۲.۱. استفاده از ستون کروماتوگرافی |
| ۱۹ | ۲.۲.۲.۲. بلورگیری مجدد |

| | |
|----|---|
| ۱۹ | ۳.۲.۲. فلزدار کردن پورفیرین ها و خالص سازی آن ها |
| ۲۰ | ۴.۲.۲. سنتز و خالص سازی و فلزدار کردن پورفیرین های حاوی گروه های متوكسی |
| ۲۱ | ۳.۲. سنتز اکسید کننده |
| ۲۱ | ۱.۳.۲. سنتز اکسید کننده $n\text{-Bu}_4\text{NHSO}_5$ |
| ۲۱ | ۲.۳.۲. سنتز اکسید کننده $n\text{-Bu}_4\text{NIO}_4$ |
| ۲۱ | ۴.۲. اپوکسایش آلکن ها توسط متالوبورفیرین ها |
| ۲۱ | ۱.۴.۲. کلیات واکنش ها |
| ۲۲ | ۲.۴.۲. اپوکسایش آلکن ها |
| ۲۳ | ۱.۲.۴.۲. شرایط دستگاه کروماتوگرافی |
| ۲۳ | ۲.۲.۴.۲. محاسبه Response Factor |
| ۲۴ | ۳.۲.۴.۲. محاسبه بازده واکنش ها |
| ۲۴ | ۴.۲.۴.۲. زمان های بازداری مواد اولیه و محصولات در واکنش های اپوکسایش |
| ۲۸ | ۳.۴.۲. بهینه سازی نسبت مولی کمک کاتالیزور ایمیدازول |
| ۲۸ | ۴.۴.۲. بهینه کردن زمان واکنش ها |
| ۲۸ | ۵.۴.۲. تغییر فلز مرکزی از منگنز به آهن |
| ۲۸ | ۵.۵. برسی پایداری منگنز متوكسی پورفیرین ها |
| ۲۹ | ۶.۲. اثر حلال |

فصل سوم: نتایج و بحث

| | |
|----|---|
| ۳۰ | ۱.۳. مقدمه ای بر اپوکسایش کاتالیزوری |
| ۳۱ | ۱.۱.۳. بهینه سازی شرایط واکنش |
| ۳۱ | ۱.۱.۱.۳. بهینه سازی غلظت لیگاند محوری نسبت به پورفیرین منگنز |
| ۳۲ | ۲.۱.۱.۳. بهینه سازی مدت زمان واکنش |
| ۳۳ | ۲.۱.۳. اپوکسایش آلکن ها |
| ۳۵ | ۳.۱.۳. بررسی فعالیت کاتالیزورها |
| ۳۷ | عوامل موثر در فعالیت کاتالیزوری $T(3,4\text{-OMeP})\text{PMnOAc}$ |
| ۳۷ | عوامل موثر در فعالیت کاتالیزوری $T(4\text{-OMeP})\text{PMnOAc}$ |
| ۳۷ | عوامل موثر در فعالیت کاتالیزوری $T(2,3\text{-OMeP})\text{PMnOAc}$ |
| ۳۸ | عوامل موثر در فعالیت کاتالیزوری $T(2,4,6\text{-OMeP})\text{PMnOAc}$ |
| ۴۰ | ۴.۱.۳. اپوکسایش آلکن های مختلف |

| | |
|----|---|
| ۴۰ | ۱.۴.۱.۳. محصولات جانبی در واکنش های اکسایش |
| ۴۲ | ۲.۱. پایداری کاتالیزورها |
| ۴۲ | پایداری $T(2,4,6\text{-OMeP})\text{PMnOAc}$ و $T(2,3\text{-OMeP})\text{PMnOAc}$ |
| ۴۳ | پایداری $T(4\text{-OMeP})\text{PMnOAc}$ و $T(3,4\text{-OMeP})\text{PMnOAc}$ |
| ۴۴ | ۲.۲. اثر حلال |
| ۴۴ | ۱.۲.۳.۱. اثر حلال در راندمان های اپوکسایش |
| ۴۶ | ۱.۲.۳.۲. اثر حلال بر طیف های UV-Vis کاتالیزور |
| ۴۶ | ۴.۳. تغییر فلز مرکزی از منگنز به آهن |
| ۴۸ | نتیجه گیری |
| ۴۸ | پیشنهاد برای کارهای آتی در این زمینه |
| ۴۹ | مراجع و پیوست |

فهرست شکل ها

فصل اول: مقدمه ای بر پورفیرین ها

| |
|---|
| شکل(۱-۱): ساختار پیشنهادی محل فعال آنزیم سیتوکروم P-450 ۲ |
| شکل(۱-۲): مثال هایی از واکنش های کاتالیز شده توسط آنزیم سیتوکروم P-450 ۳ |
| شکل(۱-۳): (a) پیوند های π غیر مستقر در پورفیرین ها و ۴ |
| شکل(۱-۴): (a) ویتامین B_{12} , (b) کلروفیل نوع a و b ۵ |
| شکل(۱-۵): ساختار هم ۶ |
| شکل(۱-۶): شماتی از سنتز H_2TPP به روش آدلر ۷ |
| شکل(۱-۷): سنتز H_2TPP به روش لیندنسی ۸ |
| شکل(۱-۸): (a) ساختار ساده سازی شده متالوپورفیرین ها (b) تغییر حالت حلقه پورفیرینی در متالوپورفیرین ها ۸ |
| شکل(۱-۹): طیف الکترونی تترافنیل پورفیرین. یک نوار سورت با شدت بالا و ۴ نوار Q در طیف دیده می شود ۱۰ |
| شکل(۱-۱۰): سطوح انرژی و انتقالات الکترونی در پورفیرین ها (a) نوار جذبی سورت (b) نوار جذبی Q ۱۱ |
| شکل(۱-۱۱): طیف الکترونی $TPPMnCl$ در حلal دی کلرومتان ۱۱ |
| شکل(۱-۱۲): مکانیزم اثر هل دادن و اثر کشیدن در شکست ناهمنگن پیوند O-O ۱۴ |

فصل دوم: بخش تجربی

| |
|--|
| شکل(۲-۱): (a) برنامه ریزی دمایی GC برای سیکلواکتن (b) برای باقی سوبستراها ۲۳ |
| فصل سوم: نتایج و بحث ۲۴ |

| |
|--|
| شکل(۳-۱): تغییرات درصد تبدیل و درصد بازده اپوکسی در اثر تغییر مقدار باز نیتروژنی ایمیدازول ۳۱ |
| شکل(۳-۲): تغییرات درصد تبدیل و راندمان اپوکسی در ایوکسایش در مدت زمان های متفاوت واکنش ۳۲ |
| شکل(۳-۳): تغییرات درصد تبدیل سیکلواکتن در حضور کاتالیزورهای مختلف و در مدت زمان های متفاوت ۳۳ |
| شکل(۳-۴): شماتی از تراکم فضایی اطراف هسته فلزی در پورفیرین $T(3,4\text{-OMeP})PMnOAc$ ۳۷ |
| شکل(۳-۵): شماتی از برهم کنش های ممکن بین (a) ایمیدازول و (b) ایمیدازول و $T(2,3\text{-OMeP})PMnOAc$ ۳۹ |
| شکل(۳-۶): تنوع محصولات در اکسایش (a) سیس استیبلن و (b) سیکلوهگزن ۴۱ |
| شکل(۳-۷): طیف UV-Vis کاتالیزورهای (a) $T(2,4,6\text{-OMeP})PMnOAc$ (b) $T(2,3\text{-OMeP})PMnOAc$ ۴۳ |
| شکل(۳-۸): طیف UV-Vis کاتالیزورهای (c) $T(4\text{-OMeP})PMnOAc$ (d) $T(3,4\text{-OMeP})PMnOAc$ ۴۴ |
| شکل(۳-۹): تغییرات درصد اپوکسی تولید شده در اکسایش سیکلواکتن در مجاورت $T(2,3\text{-OMeP})PMnOAc$ و مقادیر مختلف از CH_3OH ۴۵ |
| شکل(۳-۱۰): تغییرات درصد اپوکسی تولید شده در اکسایش سیکلواکتن در مجاورت $T(2,3\text{-OMeP})PMnOAc$ و مقادیر مختلف از $t-C_4H_9OH$ ۴۶ |
| شکل(۳-۱۱): طیف UV-Vis ناشی محلول هایی حاوی کاتالیزور $T(2,3\text{-OMeP})PMnOAc$ به همراه (A) اکستد- n - (B) اکستد- $t-C_4H_9OH=3.2$ (C) اکستد، ایمیدازول، CH_2Cl_2 / $t-C_4H_9OH$ ۴۷ |

شکل(۳-۱۲): درصد تبدیل سیکلواکتن در حضور کاتالیزور TPPFeCl ۴۷

فهرست جداول

- جدول(۱-۱): انواع روش های مورد استفاده برای فلزدار کردن پورفیرین ها ۹
- جدول(۱-۳): درصد تبدیل(درصد اپوکسی) در اکسایش آلکن ها در مجاورت متوكسی کاتالیزورهای مختلف ۳۴
- جدول(۲-۳): اپوکسایش سیکلواکتن در حضور دو اکسیده متفاوت $n\text{-Bu}_4\text{NIO}_4$ و $n\text{-Bu}_4\text{NHSO}_5$ ۳۶



فصل اول: مقدمہ

فصل اول: مقدمه ای بر پورفیرین‌ها

۱.۱ نگاهی به آنزیم‌های سیتوکروم P-450

آنزیم‌های مونوکسیژن کنند P-450 یکی از اعضای مهم خانواده آنزیم‌ها در طبیعت هستند [۱]. این آنزیم‌ها که به دلیل توانایی در انتقال یک اتم اکسیژن از O_2 به سوبسترا شهرت دارند، محدوده وسیعی از واکنش‌های اکسیژن دار کردن در سیستم‌های بیولوژیکی را کاتالیز می‌کنند. بعلاوه، آن‌ها قادر به انجام اکسایش‌هایی فضا گزین^۱، جهت گزین^۲ و شیمی گزین^۳ در سوبسترا می‌باشند. شما کلی برای این انتقالات آنزیمی به صورت واکنش (۱-۱) است:



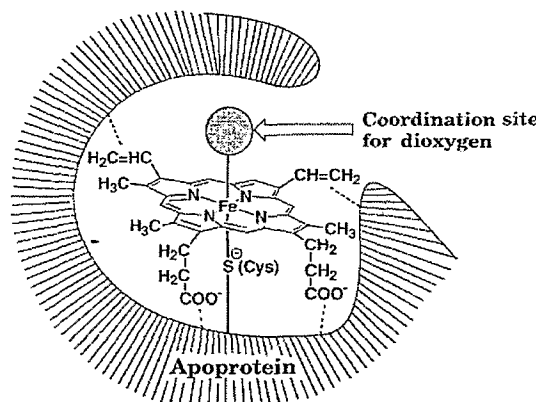
واکنش (۱-۱): واکنش کلی کاتالیز شده توسط آنزیم سیتوکروم P-450

در طی این فرایند یک اتم اکسیژن به سوبسترا می‌پیوندد در حالی که اتم دوم، به مولکول آب منتقل می‌شود. مولکول $NADPH$ در شکستن باند O-O به عنوان منبع الکترونی کاهنده عمل می‌کند.

آنزیم‌های مونوکسیژن‌ناز P-450 در بسیاری از مراحل بیوسنتز یا بیوتخریب موادی چون استروئیدها و اسیدهای چرب نقش دارند. این مواد همچنین نقشی کلیدی در متابولیسم‌های اکسیژن دار شدن ترکیباتی مثل داروها و سایر محصولات زیست محیطی دارند. همپروتئین‌های P-450 از طرف محققین رشته‌های مختلف مانند شیمی، بیوشیمی، داروسازی، سم‌شناسی و غیره مورد مطالعه بوده است. در سایه این تحقیقات و همچنین یافتن ساختار کربستالی *Pseudomonas Putida* [۲] اطلاعات زیادی در مورد ساختار و طرز عمل این آنزیم‌ها به دست آمده است [۱,۲].

^۱ Stereo-selectivity
^۲ Regio-selectivity
^۳ Chemo-selectivity

سیتوکروم P-450 دارای یک حفره آنزیمی است (شکل(۱-۱)) که محل فعال آن، یک پروتوهمن آهن با لیگاند تیولات^۱ می باشد [۴].



شکل(۱-۱): ساختار پیشنهادی محل فعال آنزیم سیتوکروم P-450

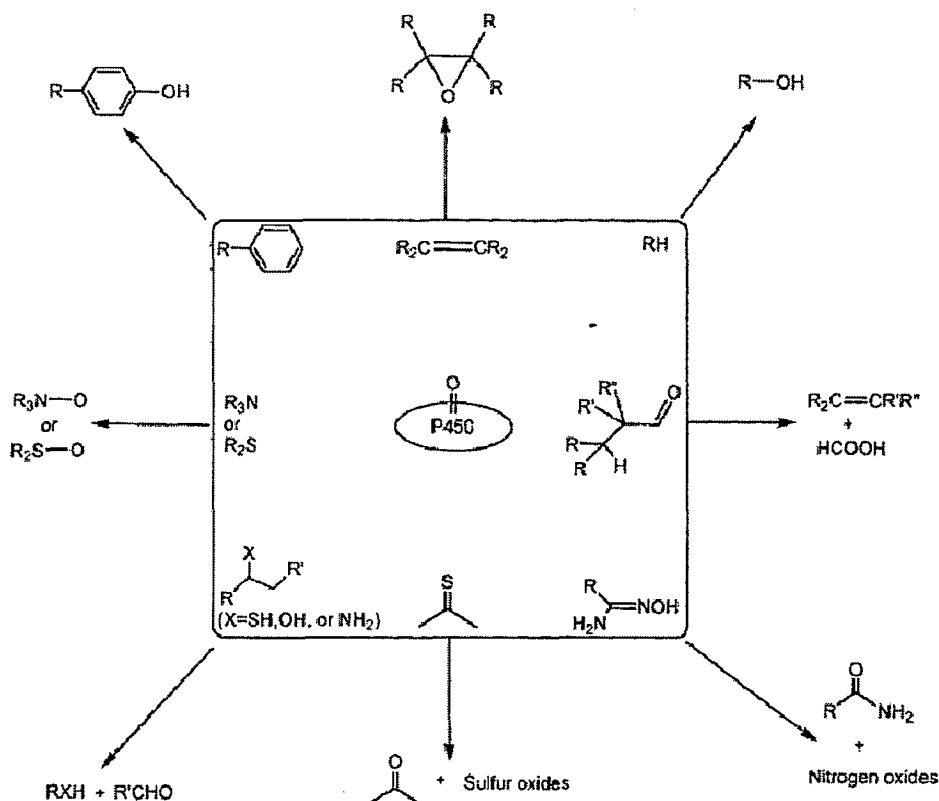
سیتوکروم P-450 از این لحاظ که دارای یک نوار جذبی قوی در ناحیه ۴۵۰ nm طیف UV-Vis می باشد، به این نام مشهور شده است. در حالی که سایر آنزیم های هم^۳ دارای نوار جذبی در ۴۲۰ nm هستند [۵].

۱.۱.۱. واکنش های اکسیژن دار شدن کاتالیز شده توسط مونواکسیژن کننده سیتوکروم P-450

آنزیم های مونواکسیژن کننده سیتوکروم P-450 محدوده وسیعی از واکنش های اکسایشی مانند هیدروکسیل دار کردن هیدروکربن های اشبع، اپوکسایش باند های دوگانه، تشکیل N-oxide ها و سولفوکسیدها را کاتالیز می کنند. تعدادی از واکنش های کاتالیز شده توسط این آنزیم در شکل(۲-۱) آورده شده است. در این بین اپوکسایش اولفین ها از اهمیت ویژه ای برخوردار است، چرا که اپوکسید ها به عنوان ترکیب اولیه یا حد واسط بسیاری از فرآیند های شیمیایی و سنتزی مطرح هستند و سالیانه در مقیاس های میلیون ها تن تا چندین گرم از اپوکسی های مختلف سنتز می شود. از بین کاتالیزورهای همگن، ناهمگن و زیستی مورد استفاده در فرآیند های اپوکسایش، کاتالیزورهای زیستی به دلیل ساختار حفره ای خود با قابلیت گیراندن سوبسترا خواص انتخابگری چشمگیری دارند و همچنین آنزیم ها که در این خانواده زیستی قرار می گیرند می توانند با کمک عواملی چون قطبش پذیری، اثرات انتقال الکترون و یا انتقال پروتون انجام واکنش ها را تسريع کنند. این خواص به خوبی در سیتوکروم P-450 دیده می شود. این آنزیم طبیعی مانند پراکسیداز و کاتالاز دارای گروه هم در مرکز خود است که در شکستن ناهمگن باندهای O-O در حدواتسط های پراکسیداز آهن (III) و فعال نمودن باند های دوگانه غنی از الکترون منحصر به فرد عمل می کند.

¹ Protoheme-iron-thiolate

² Heme



شکل(۲-۱): مثال هایی از واکنش های کاتالیز شده توسط آنزیم سیتوکروم P-450

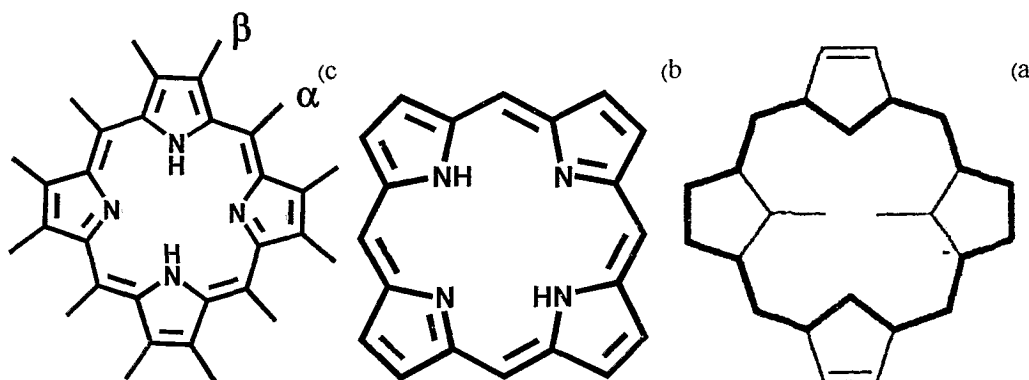
۲.۱.۱ پورفیرین ها و شبه پورفیرین ها

بخش فعال و مرکز عمل در آنزیم های سیتوکروم P-450، پورفیرین های آهن(III) هستند. پورفیرین ها لیگاند های چهار دندانه تترابیرونی می باشند که توسط گروه های متین¹ به یکدیگر متصل شده اند [۶]. این لیگاند ها، دارای ۲۲ الکترون π هستند که ۱۸ الکترون آن در یک سیستم پای مزدوج و غیر مستقر شرکت می کنند (شکل(۱-۳-a)). رعایت قاعده هوکل $4n+2$ و انرژی رزونانسی حاصل از آروماتیسیته حلقه، از عوامل پایداری لیگاند های پورفیرینی هستند و بررسی های اشعه X، مسطح بودن حلقه پورفیرین را به اثبات می رساند [۷] و ساده ترین ساختار پورفیرین که قادر است خلاف های جانبی باشد پورفین نامیده می شود (شکل(۱-۳-b)).

پورفیرین ها دارای دو موقعیت استخلافی می باشند: ۱) روی حلقه های پیرولی(β) و ۲) موقعیت مزو (α) که در شکل(۱-۳-c) شما کلی این دو موقعیت نمایش داده شده است. با جایگزینی گروه های مختلف در موقعیت های پیرولی یا

¹ Methine

مزو و با توجه به ویژگی های الکترونی استخلاف ها (الکترون کشندگی یا الکترون دهنگی) خواص پورفیرین ها تغییر خواهد کرد [۸] که این مبحث در بخش های آینده به صورت مفصل تر بررسی خواهد شد.

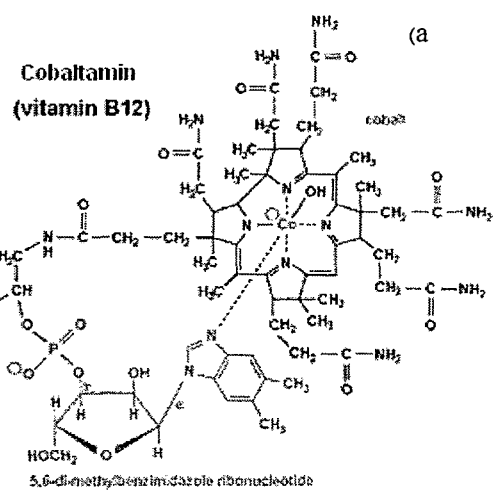
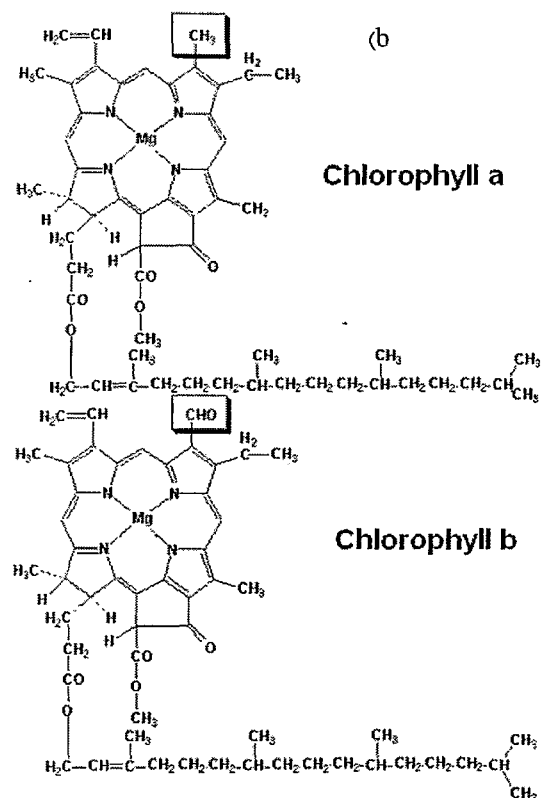


شکل(۱-۳): (a) پیوند های π غیر مستقر در پورفیرین ها (b) پورفیرین بدون استخلاف جانبی، پورفین نامیده می شود

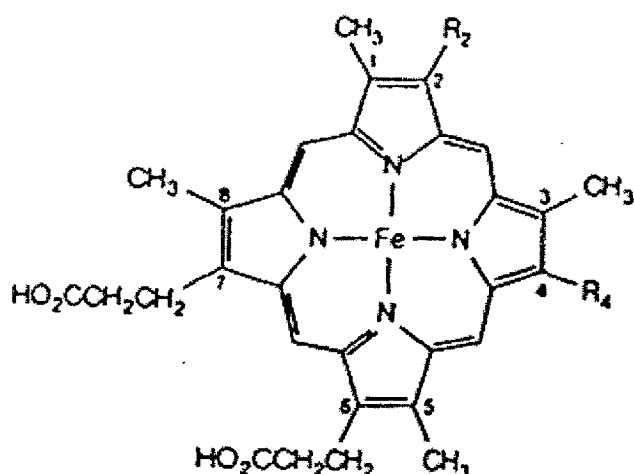
(c) موقعیت های پیروولی و مزو روی حلقه پورفیرینی

شبه پورفیرین ها، گروه دیگری از ترکیبات بیولوژیکی هستند که در سیستم های حیاتی از اهمیت ویژه ای برخوردارند. این ترکیبات نیز در ساختارهای خود از حلقه های تراپیروولی پورفیرینی سود می بردند. ویتامین B_{12} (شکل(۱-۴(a)), کلروفیل ها^۱ (شکل(۱-۴(b))) و بسیاری از هموپروتئین ها (شکل(۱-۵)) از شبه پورفیرین های مهم در طبیعت هستند. کمپلکس این ترکیبات با فلزات واسطه، بخصوص عناصر سری اول واسطه، نقشی مهم و اساسی در سیستم های بیولوژیکی ایفا می کنند [۹].

^۱ Chlorophyll



شكل (٤-١): (a) ويتامين B_{12} , (b) كلروفيل نوع a و b



Protohaem $R_2, R_4 = -CH=CH_2$ = Protoporphyrin IX

Synonyms Fe(II), haem; Fe(III), haematin

Mesohaem $R_2, R_4 = CH_2CH_3$

Deuterohaem $R_2, R_4 = H$

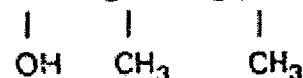
Pyrrohaem $R_2, R_4 = C_2H_5, H$ for $CH_2CH_2CO_2H$ at 6

Haem a₂ $R_2 = -CH=CH_2, R_4 = -CHOHCH_3$

Haem C $R_2, R_4 = -CHCH_3$



Haem A $R_2 = CHCH_2CH(CH_2)_3CH(CH_2)_3CH(CH_3)_2$



$R_4 = -CH=CH_2$

CH_3 at 8 = $-CH=O$

haemin: haematin with one axial ligand,

for example, Cl^- as in haemin chloride

haemochrome: iron(II) porphyrin with two axial ligands

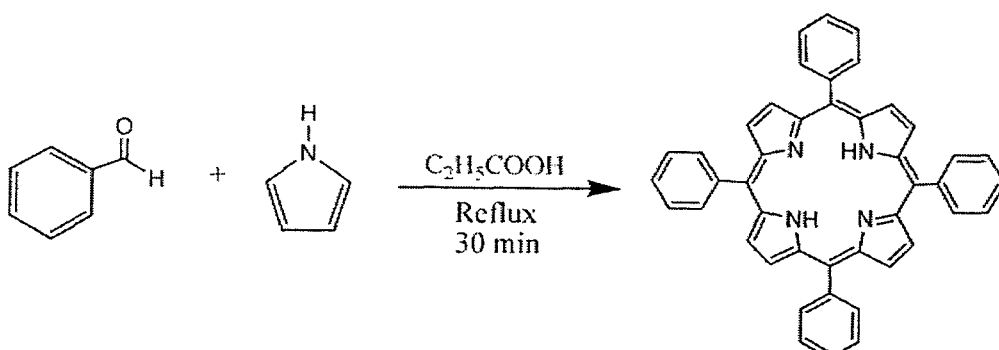
haemichrome: iron(III) porphyrin with two axial ligands

شكل (۱-۵): ساختار هم

۱.۲.۱. سنتز پورفیرین ها

یکی از مهمترین پورفیرین های سنتز شده، تترافنیل پورفیرین ها هستند. روتمند^۱ در سال ۱۹۳۶ توانست برای نخستین بار این ترکیب را با بازده اندک تولید نماید. او برای این سنتز، بنزاکسید و پیروول را در ظرفی سریسته و در دمای 150°C به مدت ۲ ساعت حرارت داد [۱۰].

اما در سال ۱۹۶۴ آدلر^۲ و همکارانش روش جدیدی برای سنتز این ترکیب ارائه دادند. در این روش جدید، بنزاکسید و پیروول در اسید پروپیونیک به مدت ۳۰ دقیقه رفلaks می شدند. محلول واکنش برای مدت ۲۴ ساعت در مجاورت هوا قرار داده می شد و در نهایت تترافنیل پورفیرین، با بازده ۲۰ درصد حاصل می گردید [۱۱]. روش آدلر تا مدت ها به عنوان روشی عمومی برای سنتز پورفیرین ها شناخته می شد. شمایی از این واکنش در شکل (۱-۶) آورده شده است.



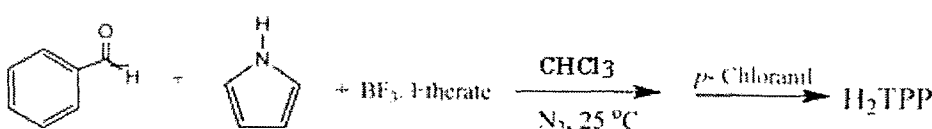
شکل (۱-۶): شمایی از سنتز H₂TPP به روش آدلر

سرانجام لیندسی^۳ و همکارانش در سال ۱۹۸۷ روش بهینه شده و کلاسیک تولید تترافنیل پورفیرین را ارائه کردند. در این روش، ابتدا پیروول و بنزاکسید تحت جو نیتروژن در حلال دی کلرومتان با یکدیگر مخلوط می شوند. سپس به محلول واکنش کاتالیزورهای اسیدی همچون محلول اتری ترا فلوئورید بور (BF₃.Etherate)، BCl₃ و یا تری فلورواتستیک اسید (TFA) اضافه می گردد. این واکنش در دمای محیط و به دور از نور انجام می شود. در این مرحله، به واکنش زمان کافی داده می شود تا محصول پورفیرینوزن تشکیل شود. سپس به کمک اکسنده هایی مانند دی کلرو دی سیانو بنزوکینون (DDQ) و یا پاراکلرانیل و رفلaks محلول، پورفیرینوزن حاصل به پورفیرین تبدیل می شود (شکل (۱-۷)).

1 Rothemound

2 Adler

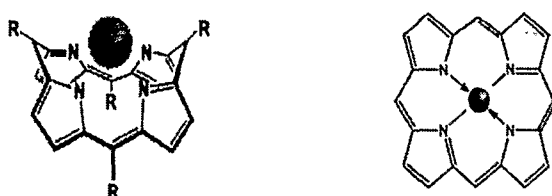
3 Lindsey

شکل(۷-۷): سنتز H_2TPP به روش لیندسى

نهایتاً برای خالص سازی پورفیرین سنتز شده، از ستون کروماتوگرافی آلومینا استفاده شده و بازده سنتز پورفیرین در این روش حدود ۵۰ درصد است [۱۲]. بهره این واکنش به عوامل متعددی نظیر انتخاب اکسید کننده، کاتالیزور اسیدی، مدت زمان تراکم، غلظت پپروول، بنزاآلدهید و اسید بستگی دارد [۱۳].

۳.۱.۱. متابولوپورفیرین ها

لیگاند پورفیرین، قابلیت کوئوردینه شدن به بسیاری از فلزات را دارد. فرم دی آئیون پورفیرین ها می توانند با یون های فلزی (۲⁺) و (۳⁺) کمپلکس داده و متابولوپورفیرین ها را ایجاد کنند (شکل(۱-۸-a)). ساختار متابولوپورفیرین ها، به اندازه حفره موجود در مرکز پورفیرین وابسته است. این حفره عموماً یون هایی با شعاع ۰/۶۵ تا ۰/۶۰ آنگستروم را در خود جای می دهد [۱۴]. اندازه این حفره برای جانشینی فلزات سری اول واسطه مناسب بوده و لذا کمپلکس هایی با ثابت تشکیل بالا ایجاد می کند [۱۴]. با وجود اینکه حضور الکترون های π غیر مستقر تا اندازه ای حلقه های پورفیرینی را صلب می کنند [۱] اما اگر اتم فلزی خیلی کوچک باشد، حلقه پورفیرینی چین می خورد تا اتم های نیتروژن بتوانند به اندازه کافی به فلز نزدیک و متابولوپورفیرین را تشکیل دهند. در حالت دیگر، اگر اتم فلزی خیلی بزرگ باشد، در حلقه پورفیرینی جای نگرفته، در بالای صفحه پورفیرین مستقر شده و به حلقه، شکل زین می دهد (شکل(۱-۸-b)).



شکل(۱-۸): (a) ساختار ساده شده متابولوپورفیرین ها (b) تغییر حالت حلقه پورفیرینی در متابولوپورفیرین ها

به صورت کلی کمپلکس های چهار کوئوردینه مربعی، ۵ کوئوردینه هرم مربعی و شش کوئوردینه هشت وجهی، متداول ترین ساختار های شناخته شده برای متابولوپورفیرین ها می باشند.